

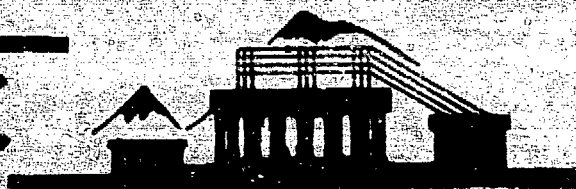
ԵՐԵՎԱՆԻ ՖԻԶԻԿԱԿԱՆ ԻՆՏԻՏՈՒՏ  
ЕРЕВАНСКИЙ ФИЗИЧЕСКИЙ ИНСТИТУТ

ЕФИ-ТФ-6(72)

И.И. Гольдман, Я.Н. Ши

ТЕОРИИ СИЛЬНО СЖАТОГО ВЕЩЕСТВА

АРУС



ԵՐԵՎԱՆ

1972

ЕРЕВАН

ЕРЕВАНСКИЙ ФИЗИЧЕСКИЙ ИНСТИТУТ

УДК-539.124.16: 539.2

ЕФИ-ТО-6(72)

И.И.ГОЛЬДМАН , ЯН ШИ

К ТЕОРИИ СИЛЬНО СЛАТОГО ВЕЩЕСТВА

Ереван 1972

И.И.ГОЛЬДМАН, ЯН ПИ

К ТЕОРИИ СИЛЬНО СЖАТОГО ВЕЩЕСТВА

Рассчитано зависящее от кристаллической структуры слагаемое в энергии сильно сжатого вещества. Поправка имеет такой же порядок величины как и члены, рассчитанные при предположении равномерно распределенного положительного заряда.

Препринт Ереванского физического института.

Ереван 1972.

I.I.GOLDMAN, C.YANG

ON THE THEORY OF STRONGLY COMPRESSED MATTER

A crystal structure dependent term of the energy of strongly compressed matter is calculated. The correction is of the same order of magnitude as the terms calculated on an assumption of a uniformly distributed background of positive charge.

Preprint of Yerevan Physical Institute

Yerevan, 1972

## I. Введение

В работах [1,2] приведены результаты расчета кулоновой энергии различных решеток. Малая разница между энергиями наиболее симметричных решеток (оцк, гцк, гпу) приводит к необходимости рассмотреть следующий член разложения энергии по малому параметру  $\rho = r_0/a_0$  ( $r_0^{-3}$  - плотность числа ядер,  $a_0 = \hbar^2/m_e^2$  - боровский радиус). Часть членов, этого порядка, которые не зависят от типа решетки, были вычислены в ряде работ [3-5] в модели равномерно распределенного положительного заряда. В более реалистической модели (ядра образуют периодическую структуру) за счет взаимодействия электронов с ядрами возникают члены того же порядка, но зависящие от типа решетки.

Настоящая работа посвящена вычислению этих членов. Трудность такого расчета заключается, во-первых, в необходимости учесть пересечение поверхности Ферми с границами зон Бриллюэна (и соответствующие деформации поверхности Ферми), и, во-вторых, в плохой сходимости возникающих сумм по узлам обратной решетки. В п.2 показано, что первая трудность несущественна при вычислении членов рассматриваемого порядка в трехмерном случае, так, как пересечение поверхности Ферми приводит лишь к поправкам в следующих членах разложения (вида  $\sim \rho \ln \rho$ ). Что касается сумм по обратной решетке, то они вычисляются в п.3 с помощью техники

приведения к интегралам (см. [1,2] ). Результаты численного расчета приведены в п. 4.

## 2. Пересечение поверхности Ферми с границами зон Бриллюэна

Если не принимать во внимание пересечения поверхности Ферми с границами зон Бриллюэна, то вклад в энергию основного состояния от взаимодействия электронов с полем решетки в расчете на одно ядро во втором порядке теории возмущений можно записать в виде

$$E_{\text{эл-реш}} = -\frac{1}{N} \sum_{f \neq 0} \sum_{p \leq p_F} \frac{|U_f|^2}{\varepsilon_{p+f}^{(0)} - \varepsilon_p^{(0)}}, \quad (1)$$

где  $U_f$  - матричный элемент потенциала взаимодействия электронов с решеткой,  $U(\underline{r}) = Ze^2 \sum_i |\underline{r} - \underline{R}_i|^{-1}$ ,  $N$  - число ядер в кристалле,  $\varepsilon_p^{(0)} = p^2/2m$  - невозмущенная одночастичная энергия электрона,  $p_F$  - фермиевский импульс.

Формула (1) может быть получена другим способом, именно: найдем поправку к одночастичной энергии электрона за счет периодического потенциала решетки и затем просуммируем энергии занятых одночастичных состояний. Этот способ удобен тем, что позволит учесть эффект пересечения поверхности Ферми с границами зон Бриллюэна. Рассмотрим для простоты одномерную модель движения электрона в периодическом поле.

Вдали от границы зоны одночастичная энергия дается формулой

$$\varepsilon_p = \varepsilon_p^{(0)} - \sum_{f \neq 0} \frac{|U_f|^2}{\varepsilon_{p+f}^{(0)} - \varepsilon_p^{(0)}}, \quad (2)$$

где  $f = \pi n/a$ ,  $a$  - период потенциала,  $n$  - целое число. Вблизи границы зоны  $p \approx f_1/2$  одночастичная энергия имеет вид

$$\varepsilon_p = \varepsilon_p^{(0)} + \frac{\varepsilon_{p+f_1}^{(0)} - \varepsilon_p^{(0)}}{2} \pm \frac{1}{2} \sqrt{(\varepsilon_{p+f_1}^{(0)} - \varepsilon_p^{(0)})^2 + 4|U_{f_1}|^2} \quad (3)$$

(Для простоты считаем отличным от нуля один матричный элемент  $U_{f_1}$ ). Для поправки к полной энергии системы, суммируя одночастичные энергии, получаем следующее выражение

$$\delta E = -\frac{|U_{f_1}|^2}{2\varepsilon_{f_1}^{(0)}} \ln \left| \frac{f_1 + 2p_F}{f_1 - 2p_F} \right| \quad (4)$$

для случая, когда фермиевский импульс  $p_F$  вдали от границы зоны:

$|p_F - f_1/2| \gg m|U_{f_1}|/f_1$ . Выражение (4), как следовало ожидать, совпадает с результатом стандартной теории возмущений (I). Однако, если  $p_F \approx f_1/2$ , то результат суммирования одночастичных энергий существенно отличается:

$$\delta E \approx -\frac{|U_{f_1}|^2}{2\varepsilon_{f_1}^{(0)}} \ln \left| \frac{\varepsilon_{f_1}^{(0)}}{U_{f_1}} \right| \quad (5)$$

Таким образом, близость фермиевского импульса к границе зоны приводит к тому, что поправку к энергии нельзя вычислять по стандартной теории возмущений.

К счастью, аналогичный, но более громоздкий расчет в трехмерном случае (как и в двумерном) показывает, что близость (или пересечение) поверхности Ферми с границами зон Бриллюэна приводит к поправке к энергии в более высоком порядке теории возмущений. При этом формула (I) приобретает дополнительный множитель вида



$$1 + c' \frac{U_F}{\varepsilon_F^{(0)}} \ln \left| \frac{\varepsilon_F^{(0)}}{U_F} \right|$$

в трехмерном случае и множитель вида

$$1 + c'' \sqrt{\frac{U_F}{\varepsilon_F^{(0)}}}$$

в двумерном ( $c'$  и  $c''$  - некоторые численные множители).

### 3. Преобразование суммы по обратной решетке

в интеграл

В трехмерном случае из формулы (1) имеем

$$E_{эл-реш} = - \frac{Ze^4 m}{\nu^2 6 \pi^2 \hbar^2} \sum_{\underline{b} \neq 0} g f \left( \frac{\pi \underline{b}}{p_F} \right), \quad (6)$$

где

$$f(x) = \frac{1}{x^4} \left( 1 + \frac{1-x^2}{2x} \ln \left| \frac{x+1}{x-1} \right| \right), \quad (7)$$

$$g = \left| \sum_{\underline{z}'} \exp(2\pi i \underline{b} \underline{z}') \right|^2. \quad (8)$$

Здесь  $Z$  - атомный номер,  $\nu$  - число атомов в элементарной ячейке,  $\underline{z}'$  - радиус-вектор атома внутри элементарной ячейки,  $\underline{b}$  - вектор обратной решетки,  $p_F = \pi(3Z\nu/\pi\nu)^{1/3}$ ,  $\nu$  - объём элементарной ячейки.

Для вычисления величины (6) воспользуемся методикой преобразования суммы по обратной решетке в интеграл (см. [1,2]).

Для этого будем рассматривать величину (6) как энергию парного взаимодействия в пространстве обратной решётки с "потенциалом взаимодействия"  $f(\pi b/p_F)$  и преобразуем "потенциал"  $f(x)$  в интеграл вида

$$f(x) = \int_0^{\infty} \psi(t) \exp(-x^2 t) dt. \quad (9)$$

Функция  $f(x)$  аналитична при  $|x| > 1$ . Поэтому интегральное преобразование (9) (которое является модифицированным вариантом преобразования Лапласа) существует лишь при  $|x| > 1$ . Представляя  $f(x)$  в виде ряда по  $x$  и почленно совершая интегральное преобразование (9), получаем

$$\psi(t) = \frac{2}{3} \left[ 3t - 1 + F\left(-\frac{3}{2}, \frac{1}{2}; t\right) \right] \quad (10)$$

где  $F(\alpha, \beta; t)$  - вырожденная гипергеометрическая функция.

Таким образом, рассматриваемую сумму можно представить в виде:

$$\sum_{k \neq 0} g f(x) = \sum_{k \neq 0, I} g f(x) + \left\{ \sum_0 g e^{-x^2 t} - \sum_{I,1} g e^{-x^2 t} \right\} \psi(t) dt, \quad (11)$$

где  $x = \pi b/p_F$ , а  $\sum_{I,1}$  означает суммирование по некоторой области I, содержащей начало координат  $x=0$ , которая определяется тем, чтобы интеграл (11) сходилась (для этого область I, по крайней мере, должна содержать целиком область  $|x| \leq 1$ ).

Сумму по обратной решётке

$$S(t) = \sum_k g e^{-x^2 t}$$



можно выразить через комбинации  $\Theta$ -функций, аналогично тому, что было сделано в [1,2]. Ниже приведем выражения  $S(t)$  для разных решёток.

### Простая ортогональная решётка

Это - решётка Браве,  $q = \gamma = 1$ ,

$$x = (\alpha n^2 + \beta m^2 + \gamma l^2) (\pi/3Z)^{2/3}, \quad (12)$$

где  $\alpha = (bc/a^2)^{2/3}$ ,  $\beta = (ca/b^2)^{2/3}$ ,  $\gamma = (ab/c^2)^{2/3}$ ,  
 $a$ ,  $b$ ,  $c$  - периоды прямой решётки,  $n$ ,  $m$ ,  $l$  -  
 -целые числа. Отсюда

$$S(t) = \omega(x_1 t) \omega(x_2 t) \omega(x_3 t), \quad (13)$$

где  $x_1 = \frac{\alpha}{\pi} \left(\frac{\pi}{3Z}\right)^{2/3}$ ,  $x_2 = \frac{\beta}{\pi} \left(\frac{\pi}{3Z}\right)^{2/3}$ ,  $x_3 = \frac{\gamma}{\pi} \left(\frac{\pi}{3Z}\right)^{2/3}$ , а  
 $\omega(z) \equiv \Theta(0, z)$ .

### Гранецентрированная ортогональная решётка

Обратная решётка - это объёмноцентрированная ортогональная решётка с периодами  $2/a$ ,  $2/b$ ,  $2/c$ . Её можно рассматривать как совокупность двух простых решёток, вдвинутых одна в другую. Отсюда

$$S(t) = \omega(x_1 t) \omega(x_2 t) \omega(x_3 t) + \zeta(x_1 t) \zeta(x_2 t) \zeta(x_3 t), \quad (14)$$

где  $x_1 = \frac{4\alpha}{\pi} \left(\frac{\pi}{12Z}\right)^{2/3}$  и т.д.  $\zeta(z) \equiv z^{-1/2} \Theta(1/2, 1/2)$ .

### Гексагональная решётка (простая)

Обратная решётка — гексагональная. Это совокупность двух простых ортогональных решёток с периодами

$$\frac{2}{a}, \frac{2}{\sqrt{3}a}, \frac{1}{c}$$

и

$$S(t) = \omega(x_1 t) \omega(x_2 t) \omega(x_3 t) + \zeta(x_1 t) \zeta(x_2 t) \omega(x_3 t), \quad (15)$$

где  $x_1 = \frac{4\lambda}{\pi} \left( \frac{\pi}{2\sqrt{3}Z} \right)^{2/3}$ ,  $x_2 = x_1/3$ ,  $x_3 = 1/x_1 x_2$ ,  $\lambda = (c/a)^{2/3}$ .

### Ромбоэдрическая решётка

Обратная решётка — тоже ромбоэдрическая решётка.

Это — совокупность шести простых ортогональных решёток.

В этом случае

$$S(t) = \omega(x_1 t) \omega(x_2 t) \omega(x_3 t) + \zeta(x_1 t) \zeta(x_2 t) \omega(x_3 t) + \\ + 2\omega(x_1 t) \gamma(x_2 t) \gamma(x_3 t) + 2\zeta(x_1 t) \mu(x_2 t) \gamma(x_3 t), \quad (16)$$

где  $x_1 = \frac{4\lambda}{3} \left( \frac{2}{3\pi Z} \right)^{1/3}$ ,  $x_2 = 3x_1$ ,  $x_3 = 1/x_1 x_2$ ,  $\lambda = (3/8)^{1/3} (c/a)^{2/3}$ ,  
 $\mu(z) = z^{-1/2} \Theta(1/6, 1/2)$ ,  $\gamma(z) = z^{-1/2} \Theta(1/3, 1/2)$ .

### Гексагональная решётка типа плотной упаковки

В этом случае в элементарной ячейке содержится два атома с радиус-векторами  $r'_0 = (0, 0, 0)$  и  $r'_1 = (0, -\frac{a}{\sqrt{3}}, \frac{c}{2})$ .

Имеем  $\gamma = 2$ ,  $g = 2 [1 + \cos 2\pi (n/3 + m/3 + l/2)]$ .

Непосредственное вычисление даёт

$$S(t) = 2 \left\{ \omega(x_1 t) \omega(x_2 t) \omega(x_3 t) + \zeta(x_1 t) \zeta(x_2 t) \omega(x_3 t) + \right. \\ \left. + \rho(x_1 t) \rho(x_2 t) \gamma(x_3 t) - 2\alpha(x_1 t) \alpha(x_2 t) \gamma(x_3 t) \right\}, \quad (17)$$

где  $\rho(z) = \theta(\frac{1}{3}, z)$ ,  $d(z) = -\frac{1}{2}[\rho(\frac{z}{4}) - \rho(z)]$ ,  $x_1 = \frac{4\lambda}{3} \left(\frac{3}{2\pi z^2}\right)^{1/3}$ ,  
 $x_2 = x_1/3$ ,  $x_3 = 1/x_1 x_2$ ,  $\lambda = (c/a)^{2/3} (3^{1/3}/2)$ ,  $\varphi(z) = \theta(1/2, z)$ .

При вычислении интеграла в правой части формулы (II) разобьём интеграл на две части: от 0 до некоторого числа  $\frac{1}{s}$  и от  $\frac{1}{s}$  до  $\infty$ . Затем в интеграле от 0 до  $\frac{1}{s}$  совершим замену переменных  $t = 1/\tau$  и воспользуемся свойствами  $\theta$ -функций. В результате получаем

$$\int_0^{\infty} (\sum g e^{-x^2 t} - \sum_1 g e^{-x^2 t}) \psi(t) dt = \int_{1/s}^{\infty} \sum g e^{-x^2/\tau} \psi(1/\tau) d\tau/\tau^2 - \\ - \int_0^{\frac{1}{s}} \sum_1 g e^{-x^2 t} \psi(t) dt + \int_{\frac{1}{s}}^{\infty} (\sum g e^{-x^2 t} - \sum_1 g e^{-x^2 t}) \psi(t) dt. \quad (18)$$

Первый интеграл с учетом известных свойств  $\theta$ -функций можно преобразовать к удобному для вычисления виду.

Для разных решёток имеем

$$3\sqrt{3}\sqrt{\pi} \int_{1/s}^{\infty} \left[ \omega\left(\frac{\tau}{x_1}\right) \omega\left(\frac{\tau}{x_2}\right) \omega\left(\frac{\tau}{x_3}\right) - 1 \right] \psi\left(\frac{1}{\tau}\right) \frac{d\tau}{\tau^2} + \overline{I} \quad (19)$$

- для простой ортогональной решётки

$$\frac{3\sqrt{3}\sqrt{\pi}}{2} \int_{1/s}^{\infty} \left[ \omega\left(\frac{\tau}{x_1}\right) \omega\left(\frac{\tau}{x_2}\right) \omega\left(\frac{\tau}{x_3}\right) + \varphi\left(\frac{\tau}{x_1}\right) \varphi\left(\frac{\tau}{x_2}\right) \varphi\left(\frac{\tau}{x_3}\right) - 2 \right] \psi\left(\frac{1}{\tau}\right) \frac{d\tau}{\tau^2} + \overline{I} \quad (20)$$

- для гранецентрированной ортогональной решётки

$$\frac{3\sqrt{3}\sqrt{\pi}}{2} \int_{1/s}^{\infty} \left\{ \left[ \omega\left(\frac{\tau}{x_1}\right) \omega\left(\frac{\tau}{x_2}\right) + \varphi\left(\frac{\tau}{x_1}\right) \varphi\left(\frac{\tau}{x_2}\right) \right] \omega\left(\frac{\tau}{x_3}\right) - 2 \right\} \psi\left(\frac{1}{\tau}\right) \frac{d\tau}{\tau^2} + \overline{I} \quad (21)$$

- для гексагональной решётки (простой)

$$\frac{\zeta\sqrt{\pi}}{2} \int_{1/\sqrt{s}}^{\infty} \left\{ \left[ \omega\left(\frac{\tau}{\alpha_1}\right) \omega\left(\frac{\tau}{\alpha_2}\right) + \varrho\left(\frac{\tau}{\alpha_1}\right) \varrho\left(\frac{\tau}{\alpha_2}\right) \right] \omega\left(\frac{\tau}{\alpha_3}\right) + 2 \left[ \omega\left(\frac{\tau}{\alpha_1}\right) \rho\left(\frac{\tau}{\alpha_2}\right) + \varrho\left(\frac{\tau}{\alpha_1}\right) \zeta\left(\frac{\tau}{\alpha_2}\right) \right] \rho\left(\frac{\tau}{\alpha_3}\right) - \right. \\ \left. - 6 \right\} \psi\left(\frac{1}{\tau}\right) \frac{d\tau}{\sqrt{\tau}} + I \quad (22)$$

- для ромбоэдрической решётки

$$6 \frac{\zeta\sqrt{\pi}}{\sqrt{s}} \int_{1/\sqrt{s}}^{\infty} \left\{ \left[ \omega\left(\frac{\tau}{\alpha_1}\right) \omega\left(\frac{\tau}{\alpha_2}\right) + \varrho\left(\frac{\tau}{\alpha_1}\right) \varrho\left(\frac{\tau}{\alpha_2}\right) \right] \omega\left(\frac{\tau}{\alpha_3}\right) + \right. \\ \left. + \left[ \varrho\left(\frac{\tau}{\alpha_1}\right) \varrho\left(\frac{\tau}{\alpha_2}\right) - 2 \rho\left(\frac{\tau}{\alpha_1}\right) \rho\left(\frac{\tau}{\alpha_2}\right) \right] \zeta\left(\frac{\tau}{\alpha_3}\right) - 2 \right\} \psi\left(\frac{1}{\tau}\right) \frac{d\tau}{\sqrt{\tau}} + 4 I \quad (23)$$

- для гексагональной решётки типа плотной упаковки.

Здесь

$$I = 3 \frac{\zeta\sqrt{\pi}}{\sqrt{s}} \int_{1/\sqrt{s}}^{\infty} \psi\left(\frac{1}{\tau}\right) \frac{d\tau}{\sqrt{\tau}} = 12 \frac{\zeta\sqrt{\pi}}{\sqrt{s}} \sum_{k \geq 2}^{\infty} \frac{s^{k-1/2}}{(2k-3)(2k-1)^2 k!} \quad (24)$$

$$\rho(z) = z^{-1/2} \alpha(1/2), \quad \zeta(z) = \Theta(1/6, z).$$

Заметим, что все интегралы, приведенные выше, сходятся очень хорошо на верхнем пределе.

Величина  $\zeta$  выбирается так, чтобы обеспечить заданную точность вычисления при использовании данного числа членов в рядах для  $\Theta$ -функций. Ясно, что результат вычисления в пределах точности не должен зависеть от  $\zeta$ .

#### 4. Результаты численного расчета

Численный расчет сумм  $\sum_{k \neq 0}^1$  и интегралов по формулам (II), (18) - (24) для разных типов решетки показывает, что энергия взаимодействия электронов с решетками максимальна для наиболее симметричных решеток. Результаты для трех типов решетки (простой квадратной, объемно-центрированной квадратной и гексагональной типа плотной упаковки) приведены в таблице I. (Относительная ошибка вычисления  $\leq 10^{-5}$ )

Безразмерный параметр  $\lambda$ , характеризующий решетку, определяется следующими соотношениями:

$$\lambda = \left(\frac{c}{a}\right)^{2/3}$$

- для простой квадратной  
решетки

$$(a=b)$$

$$\lambda = \left(\frac{c}{a}\right)^{2/3}$$

- для объемно-центрированной  
квадратной решетки

$$(a=b)$$

$$\lambda = \frac{3^{1/3}}{2} \left(\frac{c}{a}\right)^{2/3}$$

- для гексагональной решетки,  
типа плотной упаковки

Из таблицы I видно, что относительным максимумам энергии  $E_{\text{эл.реш.}}$  соответствуют простая кубическая решетка, объемно-центрированная кубическая решетка и гексагональная решетка с плотнейшей упаковкой ( $\lambda = 1$ ). Заметим, что гранецентрированная кубическая решетка (объемно-центрированная квадратная решетка при  $\lambda = 2^{1/3}$ ) не соответствует относительному максимуму.

Известно, что главный вклад в зависимость полной энергии сильно связанного вещества от его структуры вносит кулонова энергия ядер, которая минимальна для наиболее симметричных решеток (оцк и гцк). Таким образом, энергия взаимодействия электронов с решеткой, вообще говоря, несколько "сглаживает" указанную

зависимость полной энергии от структуры.

В таблице 2 приведены значения  $-E_{\text{эл-реш}}$  (относительные ошибки  $\leq 10^{-6}$ ) при разных  $Z$  для трех наиболее симметричных решеток (оцк, гцк и гцу). Из этой таблицы видно, что в большинстве случаев (за исключением гелия) энергия взаимодействия электронов с оцк решеткой больше, чем с решеткой гцк. При этом разность между оцк и гцк решетками составляет  $\sim 10^{-3} Z^2$  (в единицах  $e^4 m / \hbar^2$ ). Поскольку разность в кулоновой энергии ядер между решетками гцк и оцк порядка  $10^{-4} Z^2 / \rho$  [1,2], то при  $\rho \sim 10^{-1}$  эти две разности в энергиях могут скомпенсироваться и вопрос об устойчивой структуре сжатого вещества должен решаться следующими членами разложения по  $\rho$ .

Рукопись поступила 4-го мая 1972 года.



Т а б л и ц а I

Энергия взаимодействия электронов с  
решёткой  $-E_{эл-реш}$

(в единицах  $e^2 m / \hbar^2$ ,  $Z = 1$ )

параметр $\lambda$	Простая квадратная решётка	Объёмноцентр. квадратная решётка	Гексагональная решётка типа плотной упаков- ки
0,80	0,163326	0,102060	0,085722
0,85	0,144855	0,095308	0,079144
0,90	0,131097	0,092046	0,073254
0,95	0,121262	0,090699	0,068158
1,00	0,115173	0,090386	0,066169
1,05	0,111956	0,090555	0,066878
1,10	0,126620	0,090865	0,071434
1,15	0,137016	0,091127	0,080511
1,20	0,150761	0,091270	0,089961
1,25	0,167887	0,091307	0,101301
1,30	0,188487	0,091314	0,114867
1,35	0,212708	0,091414	0,130874
1,40	0,240737	0,091767	0,149515

Т а б л и ц а    2

Величина  $-E$  эл.реш. для трех наиболее симметричных  
решёток при разных  $Z$

(в единицах  $Z^2 e^4 m / \hbar^2$  ).

	объёмноцентр. куб.	гранецентр. куб.	гексагональ- ная с плот- нейшей упакон- кой
Водород	0,090386	0,091307	0,066169
Гелий	0,224488	0,219672	0,189904
Углерод	0,473481	0,474871	0,435366
Железо	1,034330	1,036611	0,989050

## ЛИТЕРАТУРА

1. I.I.Goldman, Phys. Lett. 34 A, 339 (1971).
2. И.И.Гольдман, ~~ИИ-ТФ-8~~(70), Ереван 1970.  
1971.
3. M.Gell-Mann and K.Brueckner, Phys. Rev. 106, 364 (1957).
4. K.Sawada, Phys. Rev. 106, 72 (1957).
5. Д.Пайно, Ф.Нозьер, "Теория квантовых жидкостей",  
Москва 1968.

Редактор Л.П.Мукаян

Тех.редактор К.О.Миракян

Заказ 1234

T-07810

Тираж 300

Подписано к печати 5/VI-72г. 1,0 уч.-изд.л. Цена 7 коп.

Ереванский финансовый институт, Ереван-36, пер.Маркariana 2

